

10. Сканави Г. И. Физика диэлектриков (область сильных полей).— М.: Физматиздат, 1958.
11. Карасев В. И., Коробов А. И., Абалмазова М. Г. О возможном влиянии объемного заряда на зависимость электрической прочности от толщины диэлектрика // Радиотехника и электроника.— 1971.— Т. 16, № 3.

г. Кемерово

Поступила 18/VII 1988 г.,  
в окончательном варианте — 23/I 1989 г.

УДК 533.6.011.72

Б. И. Заславский, С. Ю. Морозкин, А. А. Прокофьев, В. Р. Шлегель

## ОБ ОБТЕКАНИИ ТЕРМИКА, ПРИМЫКАЮЩЕГО К ЖЕСТКОЙ СТЕНКЕ, ПЛОСКОЙ УДАРНОЙ ВОЛНОЙ

Изучению волновой структуры течения, возникающего при взаимодействии плоской ударной волны (УВ) с жесткой стенкой, покрытой слоем низкоплотностного газа, посвящены работы [1—9]; в них исследуется случай скользящего движения УВ вдоль стенки. Наиболее полно проблема изложена в [6, 9], где приведены результаты численных расчетов на ЭВМ полей плотности и давления за возмущенной частью фронта УВ при начальных параметрах  $M_1 = 2$ ,  $\rho_Q/\rho_0 = 1/3$  [6];  $M_1 = 32$ ,  $\rho_Q/\rho_0 = 1/3$  [9] ( $M_1$  — число Маха УВ,  $\rho_Q/\rho_0$  — отношение плотностей среды в слое и вне слоя).

Ранее в [4] в такой же постановке проведены расчеты для  $M_1 = 1,44$ ,  $M_1 = 1,33$  и дано сравнение полученных на основе расчета волновых картин с экспериментальными результатами — теплеровскими фотографиями волновых картин соответствующих движений. В [8] этот процесс взаимодействия экспериментально исследовался в широком диапазоне параметров  $M_1$  и  $\rho_Q/\rho_0$ . Несколько иная задача рассматривалась в [5, 7, 8], где изучалось движение УВ вдоль внезапно нагретой поверхности. При этом к отражающей поверхности примыкает тонкий слой нагретого газа, но в отличие от [4, 6, 8, 9] слой неоднороден, поскольку неравномерно нагрет; отсутствует скачок плотности.

В настоящей работе приводятся результаты экспериментального исследования процесса взаимодействия плоской УВ с пристеночным слоем низкоплотностного газа (пристеночный термик) в широком диапазоне углов падения фронта УВ на отражающую поверхность, плотностью пристеночных слоев и интенсивностей УВ. Приводятся также результаты теоретического анализа волновой структуры, возникающей при таком взаимодействии.

1. Пусть плоская бесконечно длинная УВ движется со скоростью  $N_1$  в полупространстве  $y > -xtg \alpha$  (рис. 1, а), заполненном газом с начальной плотностью  $\rho_0$ , давлением  $p_0$ , температурой  $T_0$  и начальной скоростью звука  $c_0$ . За фронтом УВ давление  $p_1$ , скорость частиц  $q_1$ . Для дальнейшего удобно ввести безразмерный параметр  $\varepsilon_1 = (p_1 - p_0)/np_0$  ( $n$  — показатель адиабаты). Как известно [10],

$$(1.1) \quad N_1 = c_0 \sqrt{1 + \frac{n+1}{2} \varepsilon_1}, \quad q_1 = c_0 \varepsilon_1 \sqrt{1 + \frac{n+1}{2} \varepsilon_1}.$$

На оси  $x = 0$ ,  $y = 0$  плоскость  $y = -xtg \alpha$  пересекается с жесткой стенкой  $S$  (полуплоскость  $y = 0$ ,  $x > 0$ ). В момент прихода ударного фронта в точку  $d$  ( $t = 0$ ) над  $S$  внезапно возникает термик — слой  $Q$  ( $dd_1d_2$ , см. рис. 1) газа с  $\rho_Q < \rho_0$ ,  $p_0$  и  $c_0 > c_0$  со свободными границами  $dd_1$  и  $d_1d_2$ . Уравнения этих поверхностей при  $t = 0$  имеют вид  $y = xctg \alpha$ ,  $y = h$ ,  $x > h \operatorname{tg} \alpha$ .

Рассматривается движение при  $t > 0$ . В момент соприкосновения ударного фронта с поверхностью раздела  $dd_1$  последняя становится поверхностью разрыва двух состояний. Распад такого произвольного разрыва приводит к возникновению волны разрежения во внешнем газе и УВ — предвестнику [1—3, 5, 6], опережающей фронт основной волны, в слое  $Q$ . Параметры этих волн в начальный момент времени для различных значений  $c_Q/c_0$  и  $\varepsilon_1$  могут быть определены методом диаграммы  $p — q$  [10], пользуясь которым и учитывая, что на линии контактного разрыва

должны выполняться условия

$$(1.2) \quad p_r = p_Q^0, q_r = q_Q^0$$

( $p_r, p_Q^0, q_r, q_Q^0$  — соответственно давления и скорости частиц тяжелого и легкого газов, примыкающих к линии контактного разрыва), получаем [8]

$$(1.3) \quad q_r = \frac{c_0 \varepsilon_1}{\sqrt{1 + \frac{n+1}{2} \varepsilon_1}} + \frac{2c_0}{n-1} \sqrt{\frac{(1+n\varepsilon_1)\left(1+\frac{n-1}{2}\varepsilon_1\right)}{1+\frac{n+1}{2}\varepsilon_1}} \times \\ \times \left[ 1 - \left( \frac{1+n\varepsilon_r}{1+n\varepsilon_1} \right)^{(n-1)/2n} \right] = \frac{n c_Q \varepsilon_r}{n_Q \sqrt{1 + \frac{n(n_Q+1)}{2n_Q} \varepsilon_r}}.$$

Здесь  $\varepsilon_r = (p_r - p_0)/np_0$  — относительное давление в потоке, прошедшем через волну разрежения  $DD_1$ ;  $n_Q$  — показатель адиабаты легкого газа.

Условия (1.2) остаются справедливыми при малых  $t$  и, во всяком случае, при  $0 < t < t_1$ , где  $t_1$  — момент прихода звукового возмущения от точки  $d_1$  до подстилающей поверхности  $S$ . В дальнейшем формируется сложное пространственное движение, предполагаемая ударно-волновая структура которого приведена на рис. 1.

Рассмотрим головную ее часть для скользящего падения ( $\alpha = 0$ ). Распространяясь в слое со скоростью  $N_{A''} > N_1$ , УВ  $FA''$  (см. рис. 1, б) создает вне слоя перед фронтом  $AK$  возмущенную область  $A'FF'$  (ударные фронты  $A'F$  и  $A'F'$  и контактная поверхность  $FF'$ ). Ударный фронт  $A'F$  и течение за ним должны быть сопряжены с течением за фронтом  $FA''$ . Условия сопряжения в точке  $F$ , где встречаются оба фронта, в случае коллинеарности векторов скоростей потоков, прошедших в точке  $F$  через фронты  $A'F$  и  $FA''$ , и равенства давлений за этими фронтами имеют вид

$$(1.4) \quad n\varepsilon_p = n_Q\varepsilon_F, v_p(N_{A''} - u_F) = v_F(N_{A''} - u_p).$$

Здесь  $u_p, v_p, u_F, v_F$  — составляющие скоростей частиц;  $\varepsilon_p, \varepsilon_F$  — относительные перепады давлений в окрестности точки  $F$  за фронтами  $A'F$  и  $FA''$ .

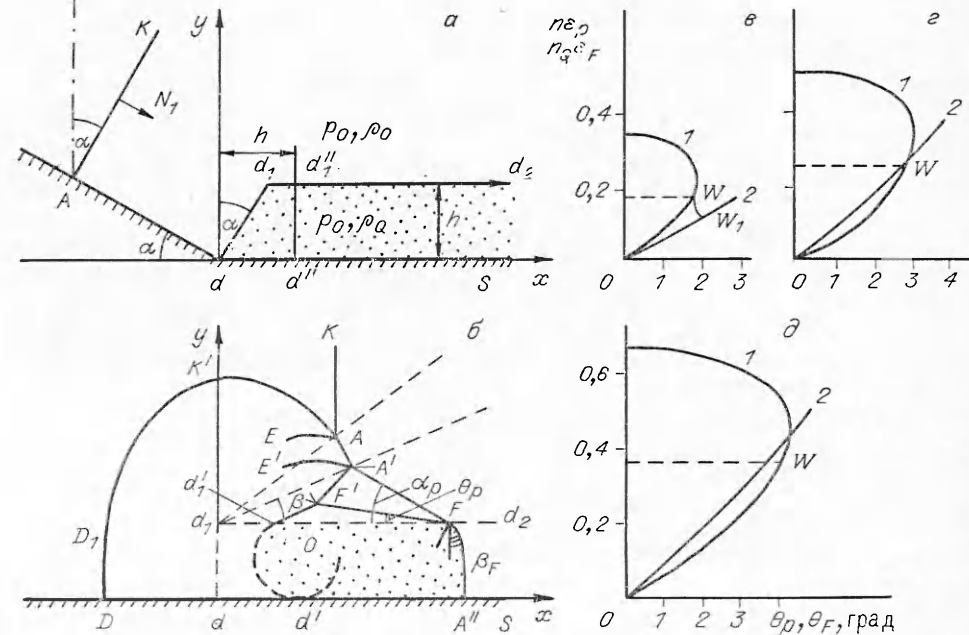


Рис. 1

Условия сопряжения могут существенно отличаться от (1.4), поскольку между рассматриваемыми фронтами возможна центрированная волна разрежения.

Вопрос о том, какой из двух режимов сопряжения реально имеет место, может быть решен с помощью метода ударных поляр в координатах  $p, \theta$  ( $\theta$  — угол поворота потока, прошедшего через ударный фронт) [10]. Уравнения ударных поляр в принятых выше обозначениях запишем как

$$\begin{aligned} \operatorname{tg} \theta_p &= \frac{\varepsilon_p}{M_p^2 - \varepsilon_p} \sqrt{\frac{M_p^2 - 1 - \frac{n+1}{2} \varepsilon_p}{1 + \frac{n+1}{2} \varepsilon_p}}, \\ \operatorname{tg} \theta_F &= \frac{\varepsilon_F}{M_F^2 - \varepsilon_F} \sqrt{\frac{M_F^2 - 1 - \frac{n_Q+1}{2} \varepsilon_F}{1 + \frac{n_Q+1}{2} \varepsilon_F}}, \quad M_F = M_p c_0 / c_Q, \end{aligned}$$

где  $M_p$  и  $M_F$  — числа Маха потоков перед ударными фронтами  $A'F$  и  $FA''$  в системе координат, связанной с  $F$ ;  $\theta_p, \theta_F$  — углы поворота потоков на этих фронтах.

Два возможных вида взаимного расположения поляр УВ, пересекающихся в точке  $F$ , представлены на рис. 1,  $\alpha$ — $\gamma$  (поляры построены в координатах  $n\varepsilon, \theta$ ; кривые 1 — поляры потока в слое  $Q$ , 2 — для внешнего потока).

На рис. 1,  $\alpha$  поляра для внешнего потока не пересекает ударную поляру потока в слое  $Q$ . При этом потоки за соответствующими фронтами могут сопрягаться только через центрированную волну разрежения. Такой волне здесь отвечает кривая  $WW_1$ . Точка  $M$  на ударной поляре для потока в слое  $Q$  должна соответствовать звуковому режиму течения за фронтом  $FA''$  (в окрестности точки  $F$ ). Таким же должен быть и режим течения в случае, когда точка пересечения поляр лежит ниже точки  $W$ . Границным для течений с центрированной волной разрежения является режим течения, когда поляра для волны  $FA'$  проходит через точку  $W$  (рис. 1,  $\gamma$ ). Если точка пересечения поляр расположена выше  $W$ , возможно непосредственное сопряжение потоков согласно (1.4) (рис. 1,  $\delta$ ).

Критерий перехода от первого ко второму режиму сопряжения — пересечение поляр в точке  $W$ , в которой

$$\theta_p = \theta_F, \quad n\varepsilon_p = n_Q \varepsilon_F, \quad (N_F - q_F)^2 + N_F^2 \operatorname{tg} \beta_F = c_F^2.$$

Здесь  $N_F$  — скорость распространения УВ  $FA''$ ;  $q_F$  — перепад скоростей частиц на УВ  $FA''$ ;  $c_F$  — скорость звука за УВ  $FA''$ ;  $\beta_F$  — угол между УВ  $FA''$  и нормалью к плоскости  $d_1 d_2$  (все величины — в окрестности точки  $F$ ).

Рассмотрим течение в окрестности линии  $d'd'_1$  контакта термика с внешней средой. Расчеты, проведенные в [6, 9], показали, что после некоторого переходного процесса в окрестности контактного разрыва возникает вихрь как следствие взаимодействия УВ с торцевой областью слоя  $Q$ , где завихренность порождается из-за неколлинеарности изохор и изобар в процессе прохождения УВ вдоль слоя. Циркуляция этого вихря может быть оценена исходя из теоремы Бьеркнеса. Контур интегрирования показан на рис. 1 ( $dd_1 d_1'' d''$ ), его размеры определяются размерами формирующегося внутри слоя кругового вихря диаметром  $\sim h$ . Это расстояние УВ проходит за время  $t_k \approx h \cos \alpha / N_1$ . Для скользящего падения

$$\Gamma = - \int_0^{t_k} \oint \frac{dp}{\rho} dt \approx - \frac{\Delta p_r \Delta \rho}{\rho_0 \rho_Q} t_k$$

$$(\Delta p_r = k p_r - p_0, \Delta \rho = \rho_0 - \rho_Q, k \approx \rho_0 / \rho_r \approx \rho_Q / \rho_Q^0).$$

При дальнейшем движении УВ также порождается завихренность (ее интенсивность имеет тот же порядок Г на любом отрезке  $d_1d_2$  длиной  $h$ ), которая концентрируется в виде вихревой пелены вдоль плоскости контакта  $d_1d_2$ . При  $\alpha \neq 0$  циркуляция вихря с ростом  $\alpha$  резко падает из-за уменьшения  $t_k$ . Действительно, при  $\alpha = 45^\circ$  вся передняя часть слоя длиной  $h$  «накрывается» ударным фронтом мгновенно. Падающая УВ  $AK$  взаимодействует с волной разрежения  $DD_1K'$ ,  $A$  — тройная точка. Второй тройной точкой является  $A'$ . Эта  $\lambda$ -конфигурация возникает в результате взаимодействия предвестника (ударного фронта  $A'F$ ) с ударным фронтом  $AA'$ .

Вернемся к предвестнику в слое  $Q$ . Центрированная волна разрежения в системе координат, связанной с  $A''$ , представляет собой местную сверхзвуковую зону в дозвуковом потоке за фронтом  $FA''$ ; поэтому независимо от особенностей сопряжения в области  $F'FA''d'$  имеет место течение, близкое к постоянному. Точнее, это расширяющийся (угол расширения  $\theta_p$ ) и, значит, тормозящийся поток, в котором в окрестности  $A''d'$  давление должно возрастать.

2. Движение определяют параметры  $p_0$ ,  $\rho_0$ ,  $h$ ,  $\rho_Q$ ,  $n$ ,  $n_Q$ ,  $p_1$ , из которых можно составить четыре независимые безразмерные комбинации:  $\varepsilon_1$ ,  $c_Q/c_0$ ,  $n/n_Q$ ,  $n$ . Параметр  $h$  в них не входит, что указывает на независимость пространственно-временной структуры течения (в координатах  $x/h$ ,  $y/h$ ,  $c_0 t/h$ ) от  $h$ . Параметр  $n/n_Q$  при небольших ( $\approx 15\%$ ) отличиях значений  $n$  и  $n_Q$  слабо влияет на характер исследуемого течения. Основными критериями, определяющими течение, остаются  $\varepsilon_1$ ,  $c_Q/c_0$ ,  $n$ .

Для изучения рассматриваемых движений создана установка (рис. 2), позволяющая получать УВ заранее заданной интенсивности, и равномерно распределенный по плоской поверхности, с которой взаимодействуют эти УВ, слой газа заданной плотности. Она оснащена ударной трубой, высоковольтной разрядной установкой, комплексом измерительной аппаратуры. Ударная труба (одноступенчатая, диафрагменная, с прямоугольным каналом  $85 \times 125$  мм) позволяет получать УВ с относительными интенсивностями  $0,07 < \varepsilon_1 < 3$ .

Комплекс аппаратуры дает возможность производить фотографическую регистрацию процессов взаимодействия УВ с жесткими поверхностями и измерять перепады давления за фронтами падающих УВ. Система измерения перепадов давления состоит из пьезодатчиков  $D1 - D4$ , измерителей временных интервалов ИВ и осциллографов ОС1, ОС2. Методика фотографической регистрации картины течения за фронтами УВ основана на шлирен-методе и скоростной фотографии (прибор ИАБ-451 в блоке с установкой ЖЛВ или фотокамерой). В качестве источника света используются лампы-вспышки. Измерительная секция длиной 0,34 м оснащена иллюминаторами, отверстиями для установки датчиков давления и механизмом для крепления модели МУ. Основная часть модели МУ — плоская пластина размерами  $85 \times 200$  мм с клинообразно заостренной передней кромкой. В опытах со «скользящим» движением ударного фронта ( $\alpha = 0$ ) этим острием модель встречает УВ. При  $\alpha \neq 0$  острие упиралось в нижнюю стенку трубы.

Поверхность пластины покрыта слоем более легкого, чем воздух, газа. В качестве последнего использовались азотно-гелиевая и азотно-водородная смеси. Варьирование составов этих смесей дает возможность получать газы, по плотности и скорости звука эквивалентные нагретому воздуху в диапазоне температур 350—2700 °C [8].

Для создания слоя заданных геометрических размеров модель оснащена рядом дополнительных устройств (см. рис. 2): 1 — жесткая клиновидная пластина, верхняя ее плоскость — отражающая поверхность; 2 — проволочный каркас; 3 — уступ, жестко связанный с пластиной и являющийся ее продолжением; 4 — ножевидные пластинки, шарнирно закрепленные на уступе. Рамки проволочного каркаса приварены к пластинам. Перекладины каркаса, перпендикулярные рамке, изготовлены из гибкой проволоки и не мешают их раздвижению. Последнее обеспечивается винтами

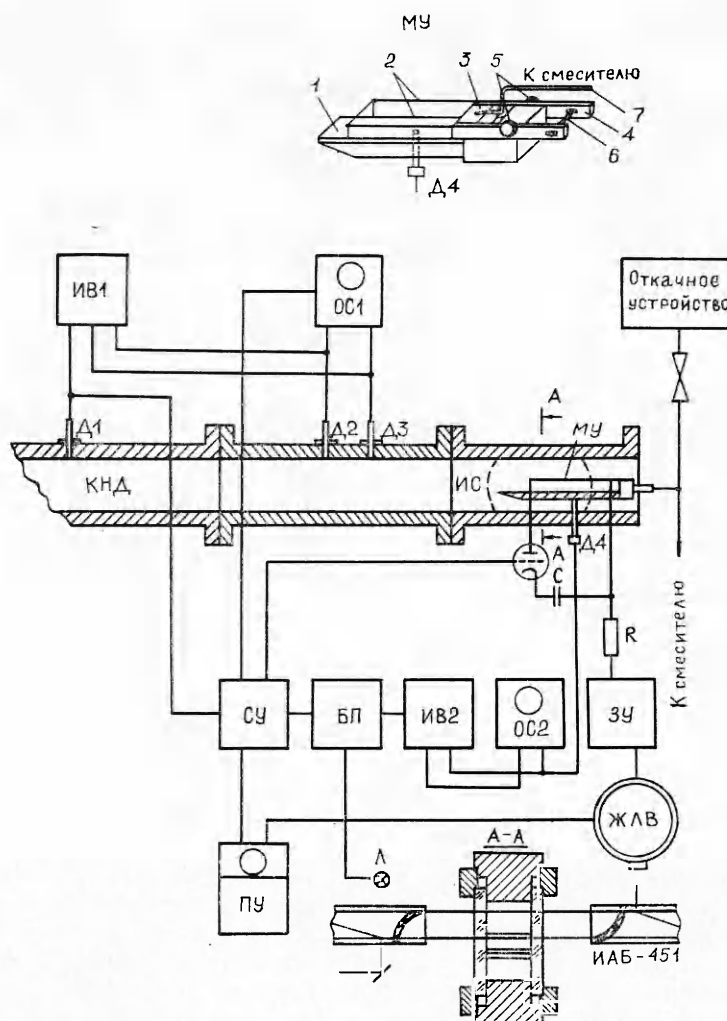
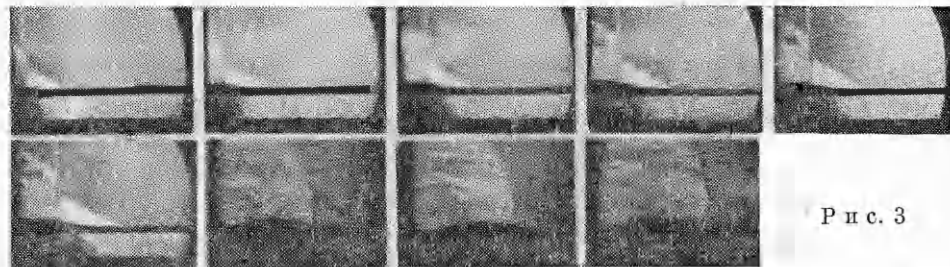


Рис. 2

5 и разжимной пружиной 6. Развижение необходимо для того, чтобы плотно прижать проволочные рамки к поверхностям иллюминаторов в измерительном отсеке. Сквозь уступ проходит канал, связанный гибким шлангом 7 со смесителем — устройством для приготовления газовой смеси заданного состава. На пластине установлен датчик давления Д4. Поверхность чувствительного элемента датчика расположена заподлицо с отражающей поверхностью пластины.

Слой  $Q$  создавался путем выдувания под мыльную пленку заранее приготовленной азотно-гелиевой или азотно-водородной смеси. Через шланг смесь подавалась из смесителя в мыльный пузырь, опирающийся на отражающую пластину. Для получения такого пузыря верхняя поверхность пластины и проволока каркаса смачивались мыльным раствором специального состава [11]. Пленкой из раствора затягивалось выходное отверстие в уступе, соединенное со шлангом. После этой предварительной процедуры выдувалась полость, заполненная смесью заданной плотности. Подача смеси прекращалась в момент, когда пленка выдуваемого пузыря обтягивала весь каркас. С помощью откачивого устройства давление внутри полости уравнивалось с наружным, что и обеспечивало плоскую форму поверхности пленки на каждой грани параллелепипеда, ограничивающего полость с легким газом.

**З а м е ч а н и е.** Жидкая пленка, разрушающаяся в процессе движения фронта или до его прихода (в первых сериях опытов пленка за



Р и с. 3

$\sim 1$  мс до начала взаимодействия разрушалась путем местного резкого нагрева ее от соприкасающихся с ней проволочек, нагреваемых импульсом тока), позволяет, в отличие от [4], где применялась органическая пленка, исследовать движение практически без привнесенных извне искажающих факторов.

После прорыва диафрагмы УВ, распространяясь вдоль канала трубы, вызывает последовательно на датчиках  $D_1 - D_4$  сигналы. Помимо фотографического фиксирования визуализированной с помощью прибора ИАБ-451 картины течения (получения теплерограмм), с помощью датчика измерялось давление на поверхности отражающей пластины. Эта дополнительная информация позволяет не только определить амплитуду давления за фронтом волны-предвестника в слое  $Q$ , но и с большей степенью точности найти скорость движения предвестника. Действительно, время движения от момента срабатывания вспышки до прихода ударного фронта к пьезодатчику может быть достаточно точно определено осциллографом ОС2, запускаемым одновременно с искровым источником, или, точнее, измерителем ИВ2. Независимые измерения амплитуды скачка давления и скорости УВ в слое  $Q$  позволяют установить начальную скорость звука  $c_Q$  в слое  $Q$  и, таким образом, сравнить реальное значение  $c_Q$  с  $c_Q$  в поданном в слой газе. Плотность и скорость звука в смеси определялись как расчетным путем, так и прямыми измерениями. В первом случае они рассчитывались исходя из состава смеси.

3. Рассмотрим случай скользящего падения. На рис. 3 показана кинограмма процесса распространения УВ вдоль поверхности, покрытой слоем азотно-гелиевой смеси. Здесь высота слоя 15 мм, длина 180 мм,  $c_Q/c_0 = 1,99$ ,  $\varepsilon_1 = 0,710$ , скорость съемки 288600 кадр/с.

На основании таких кинограмм находились скорость движения предвестника в слое  $Q$  (скорость точки  $A''$ ), скорости и направления перемещения тройных точек  $A$  и  $A'$ . Для определения скорости предвестника строился график его движения в координатах  $(x_{A''} - x_p, x_A - x_p)$ , где  $x_{A''}$ ,  $x_A$  — координаты предвестника в слое  $Q$  и падающей УВ,  $x_p = \text{const}$  — координата фиксированной реперной точки. Аналогичными способами получали скорости и траектории тройных точек. Таким методом с достаточно большой степенью точности (при машинной обработке 2—3 %) определяли зависимость скорости данной точки от времени.

Кинограммы показывают, что после некоторого начального участка длиной  $\sim(1 - 1,5)h$ , на котором формируется ударно-волновая картина течения, траектории тройных точек становятся прямолинейными, т. е. движение приобретает квазиавтомодельный характер. Этот факт, впервые отмеченный в [4], а затем в [7—9], позволил упростить методику и увеличить точность измерений, перейдя от покадровой съемки процесса к съемке фотоаппаратом на пленку форматом 35 мм.

Теплерограммы совместно с осциллограммами давления помимо кинетических параметров движения, получаемых при обработке кинограмм, позволяют определить скорость предвестника в слое  $N_{A''}$ , а также, независимо от измерений состава, начальную скорость звука  $c_Q$  в слое  $Q$ , профиль давления  $p_Q$  (или  $\varepsilon_Q$ ) за фронтом на поверхности  $S$  и скорость частиц за фронтом предвестника  $q_{A''}$ . Время движения фронта может быть найдено как по осциллограмме, так и с помощью измерителя ИВ2 (см.

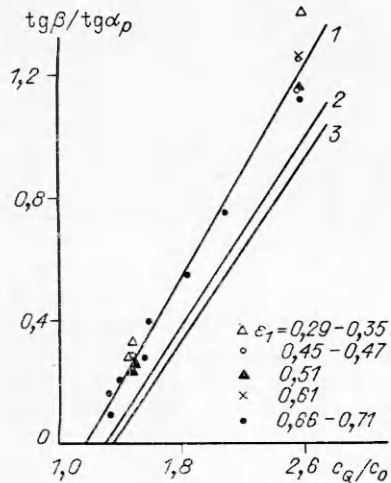


Рис. 4

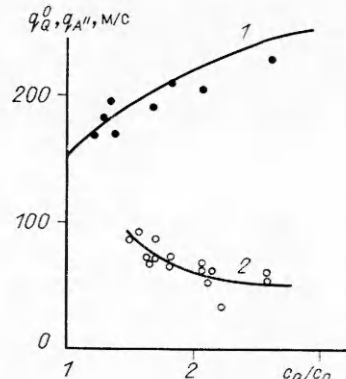


Рис. 5

рис. 2); расстояние, необходимое для определения скорости  $N_{A''}$ , — по теплерограмме. Значения  $c_Q$ ,  $q_{A''}$  получаются из соотношений [10]

$$(3.1) \quad c_Q = N_{A''} \left/ \sqrt{1 + \frac{n_Q + 1}{2} \varepsilon_{A''}} \right., \quad q_{A''} = c_Q \varepsilon_{A''} \left/ \sqrt{1 + \frac{n_Q + 1}{2} \varepsilon_{A''}} \right.,$$

где скачок давления на фронте предвестника  $\varepsilon_{A''} = (p_{A''} - p_0)/n_Q p_0$  измеряется датчиком Д4. Некоторые результаты исследований приведены на рис. 4, 5. На рис. 4 показаны результаты траекторных измерений: зависимость угла наклона предвестника в воздухе  $\alpha_p$  и угла наклона траектории тройной точки  $A'$   $\beta$  (см. рис. 1) от состава смеси; нанесены графики, рассчитанные по формуле

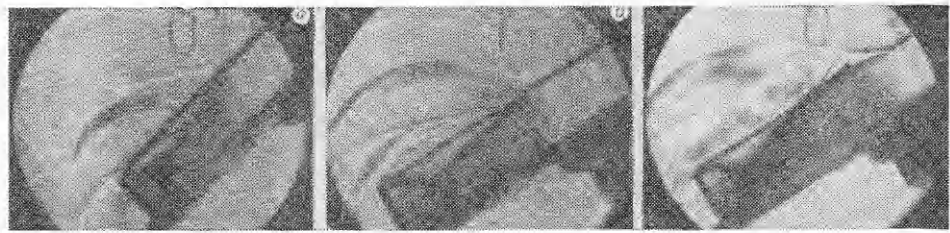
$$(3.2) \quad \operatorname{tg}\beta/\operatorname{tg}\alpha_p = c_Q/N_1 - 1$$

(1—3 —  $\varepsilon_1 = 0,32; 0,61; 0,69$ ). Формула (3.2) выведена для случая, когда предвестник — слабая УВ ( $N_{A''} \sim c_Q$ ), при условии автомодельности движения и следует из очевидного соотношения  $(N_{A''} - N_1) \operatorname{tg} \alpha_p = N_1 \operatorname{tg} \beta$ .

На рис. 5 представлены результаты измерений по кинограммам (теплерограммам) скорости движения центра  $O$  вихревого образования при  $\varepsilon_1 = 0,66-0,72$  для различных  $c_Q/c_0$  (темные точки); линия 1 — зависимость  $q_Q^0 = q_Q^0(c_Q/c_0)$  при  $\varepsilon_1 = 0,71$ , рассчитанная по (1.3).

Исследования, проведенные в диапазонах относительных интенсивностей УВ  $0,3 < \varepsilon_1 < 1,19$  и отношений скоростей звука  $1,22 < c_Q/c_0 < 2,74$ , показали, что мгновенная картина расположения фронтов УВ качественно совпадает с полученной численно в [4, 6, 9].

При всех  $\varepsilon_1$  и  $c_Q/c_0$  в указанных пределах в результате взаимодействия УВ со слоем низкоплотностного газа в последнем возникает УВ-предвестник ( $FA''$  на рис. 1), опережающая основную УВ. При этом вне слоя возбуждается УВ-предвестник  $A'F$ . По измерениям, относительный перепад давления  $\varepsilon_{A''}$  на фронте УВ в слое  $Q$  вблизи поверхности  $S$  значительно ниже, чем в падающей волне. Относительный перепад давления  $\varepsilon_Q$  в слое по мере удаления от фронта  $FA''$ , как видно из осциллограмм, непрерывно растет. В соответствии с профилем давления должна увеличиваться и скорость частиц за фронтом. Это подтверждается прямыми измерениями скорости движения вихревого образования (см. рис. 5), скоростью центра которого (см. рис. 3) близка к скорости контактного разрыва  $F'd'_1d'$  и, следовательно, к скорости  $q_Q^0 = q_r$  примыкающих к нему частиц. На рис. 5 нанесены также значения скоростей частиц  $q_{A''}$  на фронте предвестника в точке  $A''$  при  $\varepsilon_1 \sim 0,7$  (светлые точки, кривая 2), рассчитанные по (3.1). Из рис. 5 видно, что по мере продвижения от фронта



Р и с. 6

$FA''$  к контактному разрыву  $F'd_1'd'$  (см. рис. 1) скорость частиц в слое меняется от  $q_{A''}$  до  $q_Q^0$ . Общий характер движения автомодельный (или близкий к автомодельному). Экспериментальным основанием для этого утверждения служит, помимо прямолинейности траекторий точек  $A$  и  $A'$  [4, 6, 8, 9], линейность зависимости  $x_{A''} = x_{A''}(x_A)$ , что свидетельствует об отсутствии затухания УВ  $FA''$  и предвестника  $A'F$ .

Автомодельный режим устанавливается на расстоянии  $(1-1,5)h$  от вертикальной границы слоя  $Q$  ( $dd_1$  на рис. 1). К этому моменту имеют место все характерные особенности волновой картины движения, появляются предвестник в слое  $Q$ , предвестник во внешней среде, тройные точки  $A$  и  $A'$ , вихревое образование, замыкающее слой. Такова общая структура рассматриваемых течений. Отметим некоторые особенности движения при скользящем падении, выявленные в процессе исследований. Взаимодействие УВ со слоем начинается с распада произвольного разрыва. В процессе распада возникают волна разрежения за фронтом падающей волны и УВ в слое. Их амплитуды давления и скорость контактного разрыва (скорость частиц  $q_r$ ) однозначно связаны с  $\varepsilon_1$ ,  $c_Q/c_0$ ,  $n/n_Q$  и  $n$ , причем, как показали опыты, скорость контактного разрыва остается неизменной и равной  $q_r$  — скорости, которая возникает в момент распада произвольного разрыва. Таким образом, на легкий газ в процессе всего движения как бы воздействует двигающийся с постоянной скоростью жидким поршнем. При увеличении  $\varepsilon_1$  и  $c_Q/c_0$  скорость этого «поршня»  $q_r$  может достигнуть  $N_1$ . При этом легкий газ не проникает за фронт падающей УВ. Условие реализации такого режима  $N_1 = q_r$  для слоя гелия (эквивалентного воздуху при температуре 2229 °C) выполняется при  $\varepsilon_1 \approx 5$ , для слоя водорода (эквивалентного воздуху при температуре 3909 °C) — при  $\varepsilon_1 \approx 2,85$  [8].

4. Исследования процессов взаимодействия УВ с наклонной к поверхности фронта отражающей поверхностью, покрытой слоем легкого газа ( $\alpha \neq 0$ ), проводились при  $1,23 \leq c_Q/c_0 \leq 2,5$ ;  $13^\circ < \alpha < 43^\circ$ ;  $0,3 < \varepsilon_1 < 1$ .

На рис. 6 приведены теплерограммы, на которых зафиксированы три мгновенные (экспозиция  $\sim 0,5$  мкс) существенно разные картины, реализующиеся в потоках за падающими ударными фронтами при различных углах падения  $\alpha$  (см. рис. 1) на отражающую поверхность. На рис. 6, а предвестник отсутствует, поскольку скорость распространения фронта вдоль поверхности  $N_1/\cos\alpha > N_F$ , а при  $N_1/\cos\alpha < N_F$  он появляется. Последнему режиму отвечает теплерограмма рис. 6, б. Максимальные углы падения УВ  $\alpha_k = \alpha_k(c_Q/c_0, \varepsilon_1)$ , при которых появляется предвестник, назовем критическими углами падения для слоя легкого газа. Эти углы отвечают условию  $N_1/\cos\alpha \approx N_F$ . Теплерограмма, соответствующая критическому углу падения, приведена на рис. 6, в. На рис. 7 даны измеренные значения критических углов для  $\varepsilon_1 \approx 0,7$ . Сплошной линией нанесена зависимость  $\alpha_k =$

Р и с. 7



22

$= \alpha_k (c_Q/c_0)$ , рассчитанная по приближенной формуле  $\alpha_k = \arccos(c_Q/c_0)$  (формула выведена в предположении  $\varepsilon_1 \approx \varepsilon_F$ ).

При  $\alpha > \alpha_k$ , когда предвестник отсутствует, возмущения от подстилающей поверхности не достигают точки пересечения падающей УВ с границей раздела и волновая картина в окрестности этой точки отвечает регулярному преломлению УВ на границе раздела двух газов при отсутствии подстилающей поверхности [12–16].

#### ЛИТЕРАТУРА

1. Губкин К. Е. Распространение взрывных волн // Механика в СССР за 50 лет.— М.: Наука, 1970.— Т. 2.
2. Попов Е. Г., Цикулин М. А. Излучательные свойства сильных ударных волн в газах.— М.: Наука, 1977.
3. Gion E. J. Plane shock, interacting with a thermal layer // Phys. Fluids.— 1977.— V. 20, N 4.
4. Баухаус С. М., Клопов Б. А. и др. Захлопывание щели в стенке при нормальном падении на стенку ударной волны // ЧММС.— 1978.— Т. 9, № 5.
5. Гвоздева Л. Г., Харитонов А. И. Интерферометрическое исследование движения ударной волны вдоль нагретой поверхности в ударной трубе // Оптические методы исследования газовых потоков и плазмы.— Минск: ИТМО АН БССР, 1982.
6. Гордейчик Б. И., Немчинов И. В. Образование предвестника при взаимодействии ударной волны с теплым слоем // Прикладные методы механики.— М., 1983.— Деп. в ВИНИТИ 20.04.84, № 2529—84.
7. Артемьев В. И., Маркович И. Э. и др. Двумерное автомодельное движение сильной ударной волны над нагретой поверхностью // ДАН СССР.— 1987.— Т. 293, № 5.
8. Заславский Б. И., Морозкин С. Ю., Шлегель В. Р., Щербин М. Д. О движении плоской ударной волны вдоль жесткой поверхности, покрытой слоем легкого газа.— М., 1987.— Деп. в ВИНИТИ 04.06.87, № 3965—В87.
9. Бергельсон В. И., Немчинов И. В. и др. Автомодельное развитие предвестника перед ударной волной, взаимодействующей с теплым слоем // ДАН СССР.— 1987.— Т. 296, № 3.
10. Курант Р., Фридрихс К. Сверхзвуковое течение и ударные волны.— М.: ИЛ, 1950.
11. Бойе Ч. Мыльные пузыри.— М.: Гостехиздат, 1934.
12. Henderson L. F. The refraction of a plane shock wave at a gas interface // J. Fluid Mech.— 1966.— V. 26, pt 3.
13. Henderson L. F., Macpherson A. K. On the irregular refraction of a plane shock wave at a Mach number interface // J. Fluid Mech.— 1968.— V. 32, pt 1.
14. Henderson L. F. On shock impedance // J. Fluid Mech.— 1970.— V. 40, pt 4.
15. Abd-el-Fattah A. M., Henderson L. F., Lozzi A. Precursor shock waves at a slow-fast gas interface // J. Fluid Mech.— 1976.— V. 76, pt 1.
16. Abd-el-Fattah A. M., Henderson L. F. Shock waves at a slow-fast gas interface // J. Fluid Mech.— 1978.— V. 89, pt 1.

г. Менделеево

Поступила 4/III 1988 г.

УДК 539.377+532.63+681.7.068.2

А. Л. Ярин

#### ГИДРОДИНАМИЧЕСКИЙ АНАЛИЗ ПРОЦЕССА ПОЛУЧЕНИЯ ТРЕХСЛОЙНЫХ СВЕТОВОДОВ И РАСЧЕТ ПОЛЯ УПРУГИХ НАПРЯЖЕНИЙ И ДВУЛУЧЕПРЕЛОМЛЕНИЯ

Один из технологических процессов получения заготовок для производства световодов, предназначенных для передачи поляризованных сигналов, основан на использовании сил поверхностного натяжения стекла в жидком состоянии [1]. Начальное сечение заготовки представлено на рис. 1, где область  $\varnothing$  отвечает сердечнику, по которому распространяется сигнал, а 1 и 2 — напрягающая и внешняя оболочки, предназначенные для создания напряженного состояния в сердечнике. Часть внешней оболочки удаляется, например, как показано штриховыми линиями, после чего заготовка помещается в печь и нагревается. При этом напрягающая и внешняя оболочки становятся жидкими и силы поверхностного натяжения на границе  $\Gamma_2$  начинают скруглять ее. Возникающее течение жидкого стекла деформирует границу  $\Gamma_1$ , на которой действует малое межфазное натяжение; в результате она теряет свою круговую форму.